

طراحی و ساخت دستگاه آزمایش فرسایش داخلی و ریزشوبی در خاک‌ها *

عباس سروش^(۲)

پیلن طباطبایی شوریجه^(۱)

چکیده فرسایش داخلی از اصلی‌ترین علل خرابی و ناکارآمدی سدهای خاکی و سنگریزه‌ای می‌باشد. یکی از پیچیده‌ترین سازوکارهای فرسایش داخلی، ریزشوبی است که به‌ویژه در بی‌های آبرفتی سدها امکان وقوع دارد. در این مقاله دستگاه آزمایش تراوش پیشرفته و بزرگ مقیاسی که برای بررسی فرسایش داخلی و ریزشوبی طراحی و ساخته شده معرفی می‌گردد. این دستگاه توانایی اعمال سربار و برقراری جریان تراوش یک‌بعدی با کنترل گرادیان بر نمونه مورد آزمایش را دارد. علاوه بر تشریح مشخصات فنی دستگاه و آماده‌سازی نمونه، خلاصه‌ای از نتایج آزمایش‌های پایه برای نمایش قابلیت‌های عملکردی دستگاه ارائه شده‌است. چهار نمونه خاک، با تمرکز بر میزان فرسایش، تغییرات دانه‌بنایی و رفتار کرنش حجمی-تخلخل در اثر ریزشوبی، مورد آزمایش قرار گرفته‌اند. نتایج آزمایش‌های مقدماتی ضمن تنویر پدیده‌ی ریزشوبی نشان می‌دهد که وقوع ریزشوبی باعث کاهش حجم و هم‌زمان افزایش تخلخل خاک شده و میزان فرسایش از توده‌ی خاک در ریزشوبی متناسب با شاخص پایداری داخلی می‌باشد.

واژه‌های کلیدی فرسایش داخلی، ریزشوبی، خاک‌های ناپایدار داخلی، تراوش.

Design and Development of an Apparatus for Internal Erosion and Suffusion Testing in Soils

P. Tabatabae Shourijeh

A. Soroush

Abstract Internal erosion is a major cause of failure and damage in embankment dams. A complicated and detrimental mechanism of internal erosion is the suffusion process. This paper presents a recently developed automated large scale permeameter for internal erosion and suffusion testing. The new apparatus is capable of applying surcharge loads to the specimen while maintaining a unidirectional gradient controlled seepage flow via a computer closed-loop system. The instrumentation and transducers available continuously measure deformation, pore pressure variation and stress levels throughout the specimen. Multistage commissioning tests on four soils samples are reported that illustrate the novel features of the permeameter and instrumentation. The preliminary results highlight the suffusion process while revealing that the amount of erosion is proportional to the stability index, and soils experiencing suffusion undergo volume reduction conjoined with increasing void ratio.

Key Words Internal Erosion, Suffusion, Internally Unstable Soils, Seepage

* تاریخ دریافت مقاله ۹۱/۴/۳ و تاریخ پذیرش آن ۹۲/۱۰/۱ می‌باشد.

(۱) دانشجوی دکتری، دانشکده‌ی مهندسی عمران و محیط زیست، دانشگاه صنعتی امیرکبیر.

(۲) نویسنده‌ی مسئول، دانشیار، دانشکده‌ی مهندسی عمران و محیط زیست، دانشگاه صنعتی امیرکبیر.

عرض ناپایداری داخلی هستند. این چنین خاکهای در نهشته‌های طبیعی خاکهای رسوبی، بخشالی و دریایی ظهر می‌کنند. بسیاری از سدهای در دست طراحی یا اجرا در ایران بر روی بسترها آبرفتی واقع می‌گردد. مطابق شکل (۲)، دانه‌بندی‌های مقعر به سمت بالا و گسته، که ممکن است در عرض ریزشوبی باشند، در پی‌های آبرفتی سدهای کشور فراوان هستند. از اصلی ترین مشخصه‌های رسوبات آبرفتی می‌توان به ناهمگنی (Heterogeneity) و ناهمسانی (Anisotropy) آنها اشاره کرد. در عمق و سطح نهشته‌های آبرفتی، مصالح با خواص ژئوتکنیکی (نظری دانه‌بندی، نفوذپذیری، ...) متفاوتی یافت می‌شود. وجود لایه‌بندی‌ها، لنزها و لایه‌های پراکنده ریزدانه یا درشت‌دانه در آبرفت‌ها، موجب پیچیدگی‌های فراوانی به‌لحاظ رژیم تراوش در پی سدهای خاکی می‌شود. تمرکز خطوط هم‌پتانسیل و ایجاد گرادیان‌های موضعی شدید از جمله عواملی است که به شروع فرسایش داخلی و ریزشوبی در پی کمک می‌کند [۴].

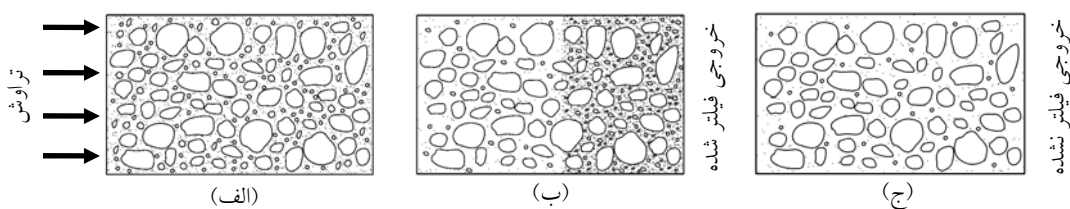
به‌علت پیچیدگی ذاتی فرسایش داخلی و به‌ویژه ریزشوبی، که شامل مهاجرت ذرات در محیط متخلخل هستند، استفاده از مطالعات آزمایشگاهی همواره یکی از کارآمدترین ابزار بررسی این پدیده‌ها می‌باشد. در سال‌های اخیر تحقیقات آزمایشگاهی قابل توجهی در سطح بین‌المللی در ارتباط با ریزشوبی و ناپایداری داخلی خاک‌ها صورت گرفته است [۵,6,7,8].

با توجه به تعدد روزافزون سدهای خاکی و سنگریزهای در دست طراحی و اجرا در کشور و اهمیت انجام مطالعات پایه بر روی فرسایش داخلی و ریزشوبی، اقدام به طراحی، ساخت و راهاندازی دستگاه آزمایش ریزشوبی و فرسایش داخلی با قابلیت‌های پیشرفته شده است. در این مقاله ضمن معرفی کامل دستگاه و توانمندی‌های اجزای مختلف آن، روش انجام آزمایش و بخشی از نتایج آزمایش‌های مقدماتی به‌منظور معرفی عملکرد دستگاه به اختصار ارائه شده است.

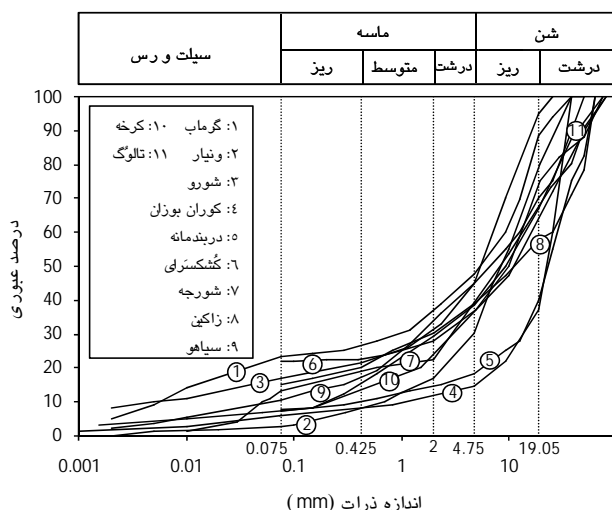
مقدمه

فرسایش داخلی عبارت است از حمل تدریجی ذرات ریز خاک توسط جریان آب از میان ترکها و منافذ خاک. ابتدا دبی جریان کم است و ذرات ریزتر را با خود حمل می‌کند ولی به‌تدریج و با گذشت زمان، مجرای عبور آب بزرگ‌تر می‌شود، در نتیجه دبی جریان زیادتر می‌گردد و آب قابلیت حمل ذرات بزرگ‌تر را خواهد داشت. فرسایش داخلی مشکلات فراوانی را برای سازه‌های خاکی به‌خصوص سدهای خاکی و سنگریزهای به‌وجود می‌آورد. مطابق آمارهای موجود تا سال ۱۹۸۶، ۴۸٪ از تخریب سدهای خاکی و سنگریزهای بزرگ بر اثر فرسایش داخلی و آبستنگی بوده است [۱]. به‌طور کلی انواع فرسایش داخلی از سه مکانیزم اصلی فرسایش آغاز می‌گردد که عبارتند از؛ فرسایش عقب‌رونده (Backward Erosion)، فرسایش بر اثر تراوش مرکز (Erosion of Suffusion) و ریزشوبی (Concentrated Leak).

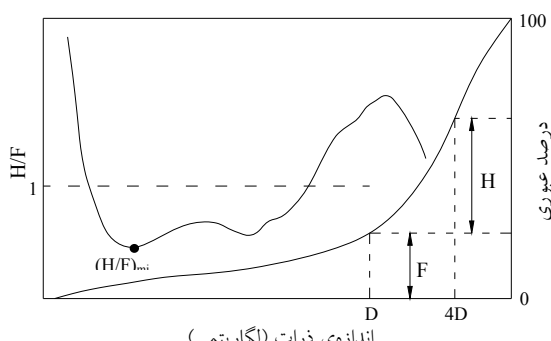
ریزشوبی فرآیندی از فرسایش داخلی است که شامل فرسایش انتخابی ذرات ریز از ساختار یا توده‌ای از خاک مشکل از دانه‌های درشت است. ذرات ریز به‌واسطهٔ جریان از میان منافذ و حفرات موجود بین دانه‌های درشت فرسایش می‌یابند و در نتیجه ساختاری مشکل از دانه‌های درشت بر جای می‌ماند. شکل (۱) حالت‌های ممکن برای ریزشوبی در المان خاک را نشان می‌دهد. در حالتی که ذرات ریز فرسایش یافته مسیری را در توده‌ی خاک طی کنند و متوقف شوند، ریزشوبی داخلی (Internal Suffusion) روی می‌دهد؛ در صورتی که این ذرات از توده خاک خارج شوند، ریزشوبی خارجی (External Suffusion) خواهد بود [۲]. خاک‌هایی که پتانسیل وقوع ریزشوبی دارند، ناپایدار داخلی (Internally Unstable) هستند. خاک‌های گسته به‌علت انفصال در اندازه‌ی ذرات و خاک‌های گسترده مقعر به بالا به‌دلیل صاف بودن انتهای ریزدانه و کمبود اندازه‌ی ذرات ریزتر، در



شکل ۱ المان خاک در حالت: (الف) قبل از ریزشوبی، (ب) ریزشوبی داخلی و (ج) ریزشوبی خارجی



دانه‌بندی عریض ($C_u > 3$) در محدوده $F \leq 20\%$ و برای دانه‌بندی‌های کم عرض ($C_u < 3$) در محدوده $F \leq 30\%$ $H/F = 1$ بالای خط $H/F = 1$ قرار گیرد، خاک پایدار داخلی و در غیر این صورت ناپایدار داخلی است. اندازه $(H/F)_{min}$ نشانه‌ای از میزان ناپایداری داخلی خاک مورد بررسی است و به عنوان شاخص پایداری معرفی می‌گردد.



شکل ۳ نمایش ترسیمی روش Kenney و Lau [10]

روش‌های ارزیابی ناپایداری داخلی خاک

بر پایه‌ی مطالعات آزمایشگاهی، تجارب عملی و روابط نظری، روش‌های مختلفی برای پیش‌بینی پایداری ناپایداری داخلی خاک‌ها ارائه شده‌است. مهم‌ترین‌های آن‌ها روش Kezdi [9]، روش [11] Burenkova و Lau [10] و روش Kenney می‌باشند. در ادامه روش Lau و Kenney [10] که در این مقاله مورد استفاده است به اختصار معرفی می‌گردد. در روش Kenney و Lau مطابق شکل (۳) در منحنی دانه‌بندی، اندازه‌های D و D^* معین می‌گردد. درصد ذرات ریزتر از D با F و درصد ذرات ریزتر از D^* و درشت‌تر از D با H نمایش داده می‌شود. این روند برای کلیه‌ی مقادیر D در محدوده عبوری صفر تا 40% ، انجام می‌شود و نمودار تغییرات H/F رسم می‌گردد. در صورتی که این نمودار برای مصالح با

به صورت حلقه‌ی بسته کنترل می‌گردد. سربار توسط میله‌ی بارگذاری (از جنس فولاد زنگنزن با قطر ۳۰ میلی‌متر) و صفحه‌ی بارگذاری به سطح نمونه خاک اعمال می‌شود. میله‌ی بارگذاری از میان بوشینگ و کاسه نمد تعییه شده بر روی درپوش دستگاه هدایت می‌شود. اصطکاک ناشی از عبور میله‌ی بارگذاری از میان سیستم بوشینگ و کاسه نمد برابر با 0.03 kN معادل تنش 7 kPa در سطح نمونه می‌باشد که با عنایت به دقت اندازه‌گیری‌های نیروی محوری قابل صرف‌نظر کردن است.

صفحه‌ی بارگذاری از جنس آلومینیم (ضخامت ۲۰ میلی‌متر) و شامل تعداد ۱۲۰ سوراخ ۵ میلی‌متر و شیارهای متعدد مرکز به صورت متقاضن است که برای سهولت و یکنواختی جریان آب تعییه شده‌اند. مطابق شکل (۶) برای جلوگیری از ایجاد مسیرهای ترجیحی جریان در محل تماس نمونه خاک و محفظه، و هدایت هرچه بیشتر جریان به داخل نمونه، در پیرامون صفحه‌ی بارگذاری از لاستیک آب‌بند (Packing) استفاده شده است. لاستیک آب‌بند با جداره محفظه اصطکاکی برابر با 0.15 kN ، معادل تنش $3/6 \text{ kPa}$ در سطح نمونه، ایجاد می‌کند که در محاسبات در نظر گرفته می‌شود.

نمونه‌سازی خاک درون محفظه، بر روی یک بش که روی قاب عکس‌العمل تحتانی مستقر است، انجام می‌شود. مطابق شکل (۵) وظیفه‌ی اصلی قاب عکس‌العمل تحتانی انتقال نیروها (شامل وزن نمونه، وزن میله‌ی بارگذاری و صفحات، سربار اعمال شده و هرگونه نیروی هیدرودینامیکی جریان) به نیروسنج پایین است. به علاوه، قاب مذکور با فراهم کردن فضایی آزاد در زیر نمونه، فرسایش و خروج ذرات و مشاهده‌ی چشمی فرسایش را ممکن می‌سازد. قاب عکس‌العمل تحتانی به ارتفاع کل 330 میلی‌متر متشکل از چهار صفحه‌ی آلومینیمی (ضخامت 20 میلی‌متر) و چهار ستون فولادی (قطر 16 میلی‌متر) است. مطابق شکل (۶)، برای جلوگیری از فرسایش ذرات از جداره‌ها در اطراف صفحه‌ی بالایی قاب (که در زیر

سامانه‌ی آزمایشگاهی

مهم‌ترین ویژگی‌های سامانه‌ی آزمایشگاهی طراحی و ساخته شده عبارتند از:

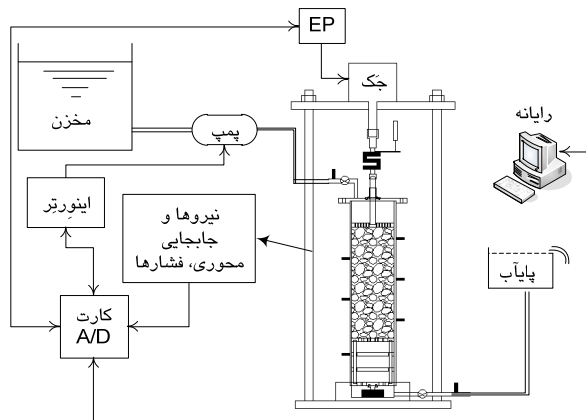
- ۱- امکان آزمایش تراوش، با جهت جریان رو به بالا یا پایین
- ۲- توانایی آزمایش مصالح با اندازه‌ی واقعی ذرات
- ۳- کنترل دقیق گرadiان هیدرولیکی (از مقادیر کم تا زیاد) جریان
- ۴- اعمال و کنترل دقیق سربار مؤثر بر نمونه به همراه امکان اندازه‌گیری دقیق تنش مؤثر در هر تراز از خاک
- ۵- اندازه‌گیری تغییرات طول نمونه که معرف تغییرات کرنش حجمی و تخلخل خاک است
- ۶- تعیین دقیق تغییرات گرadiان‌های هیدرولیکی موضعی در هر تراز از نمونه خاک
- ۷- امکان اندازه‌گیری جریان عبوری از نمونه، برای بررسی سرعت تراوش و نفوذپذیری.

دستگاه آزمایش. دستگاه آزمایش طراحی شده (شکل ۴)، متشکل از محفظه‌ی تراوش بزرگ مقیاس، تجهیزات بارگذاری محوری، تجهیزات تأمین و کنترل جریان آب و تجهیزات رایانه‌ای کنترل و ثبت اطلاعات است.

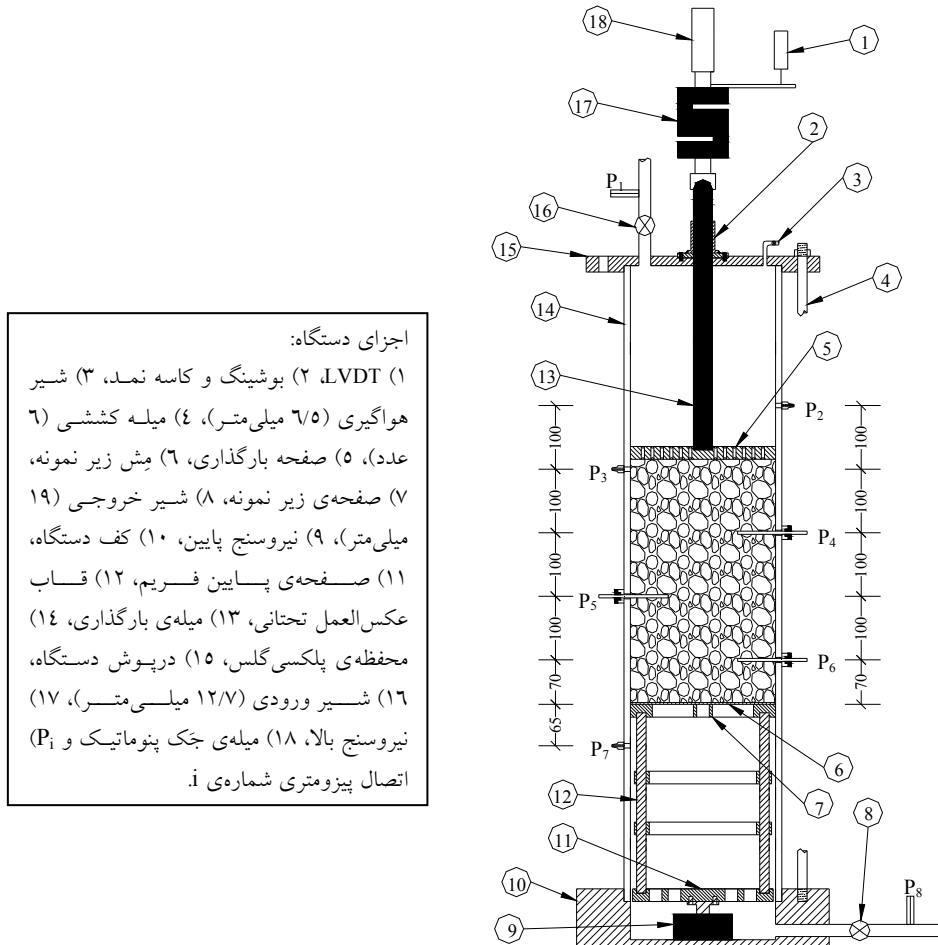
محفظه‌ی اصلی دستگاه شامل استوانه‌ای از جنس پلکسی‌گلس (Plexiglas) با ارتفاع ۱ متر، قطر داخلی 230 میلی‌متر و ضخامت جداره 10 میلی‌متر می‌باشد. محفوظه به‌وسیله‌ی 6 میله‌ی کششی در بین درپوش بالایی و کف (هر دو از جنس آلومینیم) محکم می‌شود و وجود واشرهای حلقوی (O-ring) آب‌بندی را فراهم می‌کند. بر روی درپوش بالایی شیر ورودی و شیر هواگیری و در کف دستگاه شیر خروجی تعییه شده‌اند. در شکل (۵) جزئیات بیشتری از محفظه‌ی تراوش ارائه شده است. تجهیزات بارگذاری محوری متشکل از قاب عکس‌العمل بارگذاری و جک پنوماتیک دوطرفه (کورس 160 میلی‌متر) با حداکثر نیروی محوری قابل اعمال 50 kN است. عملکرد جک توسط عملگر الکتروپنوماتیک (EP) و نرم‌افزار رایانه‌ای

با استفاده از اینورتر (Inverter) و نرم‌افزار رایانه‌ای، موتور به صورت حلقه بسته کنترل می‌شود و تنظیم دقیق جریان و گردیان‌های هیدرولیکی اعمالی به نمونه در طول آزمایش صورت می‌پذیرد.

مش و نمونه خاک قرار می‌گیرد) لاستیک آب‌بند مشابه با صفحه‌ی بارگذاری تعییه شده است. تجهیزات تأمین ۲/۲ جریان آب متشکل از پمپ دورانی با توان کیلووات و مخزن ایست‌آبی با ظرفیت ۳۰۰ لیتر است.



شکل ۴ طرحواره سامانه آزمایشگاهی ریزشویی



شکل ۵ طرحواره‌ی دستگاه آزمایش ریزش‌سنجی (اندازه‌ها بر حسب میلی‌متر)

در جداره داخلی محفظه اندازه‌گیری می‌کند. برای ترازوایی که نمونه خاک مستقر است، P_4 ، P_5 و P_6 ، فشار آب منفذی لایه‌ی جداره‌ای بین نمونه و محفظه معرف فشار داخل خاک نخواهد بود. به همین منظور پیزومتر خاصی، متشکل از پیچ فلزی به قطر ۵ میلی‌متر و طول ۱۲۰ میلی‌متر که درون آن سوراخ ۲ میلی‌متری ایجاد شده است، به کار می‌رود. پس از ساخت نمونه، پیچ عنوان شده از میان اتصال پیزومتری پیچانده می‌شود و حدود ۶۰ میلی‌متر به درون خاک نفوذ می‌کند. بدین ترتیب فشار انتهای (نوک) پیزومتر (پیچ) از طریق شلنگ به سنسور فشار منتقل می‌شود و قرائت صحیحی از فشار داخل نمونه خاک حاصل می‌گردد. در شکل (۷) تصویری از این‌گونه پیزومترها نشان داده شده است. سنسورهای فشار مورد استفاده از نوع سنسور فشار کل (Total Pressure Transducer) با ظرفیت صفر تا 400 kPa و دقت $\pm 1/2 \text{ kPa}$ می‌باشند.



(ب)



(الف)

شکل ۶ (الف) لاستیک آب‌بند در اطراف صفحه‌ی بارگذاری و (ب) قاب عکس‌عمل تختانی



(ب)



(الف)

شکل ۷ (الف) اتصال پیزومتری بر روی بدنه محفظه دستگاه و (ب) پیزومتر فلزی فرورفته در داخل نمونه خاک

نرخ حجمی جریان (دبی) خروجی در پایاب با

برای ثابت بودن بلندای آبی در خروجی محفظه‌ی تراوش، مسیر خروج جریان به پایاب متصل است (شکل ۴).

ابزار دقیق. برای حصول دقیق تنش مؤثر در ترازوای مختلف نمونه، هرگونه تغییراتی در نیروی محوری به‌واسطه‌ی تأثیر اصطکاک جداره‌ی دستگاه آزمایش با نمونه باید مد نظر قرار گیرد. بنابراین اندازه‌گیری نیروی محوری در بالا و پایین نمونه صورت می‌گیرد. مطابق شکل (۵) نیروسنج بالا (ظرفیت 50 kN) بر روی میله‌ی بارگذاری و بیرون از محفظه‌ی دستگاه آزمایش مستقر شده است در حالی که نیروسنج پایین (ظرفیت 100 kN) از نوع ضد آب است و داخل دستگاه، متصل به کف و در زیر قاب عکس‌عمل تختانی قرار دارد. براساس قدرت تفکیک نیروسنج‌های به‌کاررفته، تنش‌های اندازه‌گیری شده در نمونه دارای دقت $\pm 0.7 \text{ kPa}$ خواهند بود.

طول نمونه خاک درون محفظه دستگاه، بر اثر (الف) نشست تحت اثر سربار اعمال شده و (ب) نیروی هیدرودینامیکی جریان آب تغییر می‌نماید. به علاوه انتظار می‌رود که بر اثر وقوع ریزش‌های و فرسایش ذرات، تغییراتی در تخلخل و حجم نمونه روی دهد که به صورت تغییرات طول نمونه قابل اندازه‌گیری است. جابه‌جایی محوری نمونه به‌وسیله‌ی جابه‌جایی سنج (LVDT)، با ظرفیت 100 mm و دقت $\pm 0.5 \text{ mm}$ ، با ظرفیت 100 mm و دقت $\pm 0.5 \text{ mm}$ مستقر بر روی میله‌ی بارگذاری اندازه‌گیری می‌شود.

اندازه‌گیری دقیق فشار آب منفذی برای تعیین بلندای آبی در ترازوای مختلف نمونه خاک و هم‌چنین برای کنترل جریان تراوش مورد نیاز است. مطابق شکل (۵) بر روی بدنه‌ی محفظه‌ی دستگاه در ترازوای معین اتصالات پیزومتری تعییه شده است که به‌وسیله‌ی شلنگ به سنسورهای فشار متصل می‌گردند. در ترازوای بالا و پایین نمونه خاک، P_2 ، P_3 و P_7 ، اتصال پیزومتری از جنس پلکسی‌گلس است و فشار آب را

اعمال سربار. پس از ساخت نمونه و قبل از اشباع‌سازی، سربار مورد نظر، σ'_{Tav} ^۵ به صورت تدریجی و آرام بر نمونه اعمال می‌شود. اعمال تدریجی سربار (در مدت زمان حدود ۲/۵ تا ۴ ساعت بسته به میزان سربار) موجب می‌گردد که نمونه فرصت نشست داشته باشد و تغییرات محتمل در آرایش دانه‌های خاک به‌آرامی صورت پذیرد.

اشباع‌سازی. در مرحله اشباع‌سازی نمونه، مشابه روش استاندارد [12] برای آزمایش‌های نفوذپذیری، جریان آب با جهت رو به بالا از پایین دستگاه (شیر خروجی) وارد می‌شود. بدین ترتیب هوای موجود در دستگاه و نمونه و از شیر هوایی (شکل ۵) خارج می‌شود. پس از رسیدن سطح آب به تراز هر کدام از اتصالات پیزومتری، شلنگ مربوط به پیزومتر با ورود آب هوایی می‌شود و به اتصال پیزومتری متصل می‌گردد. برای حصول اطمینان از اشباع شدن کامل (در حد امکان) نمونه و جلوگیری از هرگونه حرکت ذرات در حین اشباع‌سازی، نرخ جریان ورودی به دستگاه بسیار پایین (در حد ۴ تا $6 \text{ cm}^3/\text{s}$) است و زمان اشباع‌سازی حدود ۳ ساعت به‌طول می‌انجامد.

مرحله‌ی تراویش. جریان تراویش از نوع کنترل گرادیان است. پس از اعمال تنفس مؤثر (σ'_{Tav}) و اشباع‌سازی، طول نمونه از مقدار اولیه L_0 تغییر می‌کند. این تغییرات در زمان‌های مختلف با ΔL_t بیان می‌شود. گرادیان هیدرولیکی توسط مقدار گرادیان مسیر یا i_{18} به صورت زیر تنظیم می‌گردد:

$$i_{18} = \frac{h_1 - h_8}{L_t} \quad (1)$$

در رابطه‌ی اخیر:
از گرادیان مسیر

h_1 : بلندای آبی کل در تراز پیزومتر ۱ (P_1)

h_8 : بلندای آبی کل در تراز پیزومتر ۸ (P_8)

L_t : طول نمونه در زمان t با دانستن این که

استفاده از استوانه‌ی مدرج در فواصل زمانی منظمی در طول آزمایش اندازه‌گیری می‌شود. تجهیزات فرمان‌یار و کنترل مورد استفاده ساخت داخل کشور می‌باشد. این تجهیزات دارای ۱۶ کanal ورودی آنالوگ (۱۶ بیت)، ۴ کanal خروجی آنالوگ (۱۲ بیت) و سرعت نمونه‌گیری ۵۰ نمونه بر ثانیه است. با استفاده از نرم‌افزارهای رایانه‌ای کنترل، که منحصرأ برای مقاصد عملیاتی دستگاه آزمایش ریزش‌سی نوشته شده‌اند، کنترل‌ها و جمع‌آوری اطلاعات به صورت حلقه بسته صورت می‌گیرد.

روش انجام آزمایش

با استفاده از دستگاه ساخته شده و امکانات موجود، مراحل انجام آزمایش ریزش‌سی به شرح زیر است:

نمونه‌سازی. با توجه به این‌که خاک‌های ناپایدار داخلی، اعم از دانه‌بندی‌های گسترده یا گسسته، به‌شدت در معرض جداسدگی دانه‌ها هستند، نمونه‌سازی آن‌ها بسیار دشوار است. به همین دلیل لازم است که نمونه‌ی مورد نظر به گونه‌ای درون محفظه‌ی دستگاه آزمایش چیده شود. برای این منظور نمونه خاک در ۱۰ لایه‌ی جدا مخلوط و آماده می‌شود که دانه‌بندی هر کدام مطابق با دانه‌بندی هدف است. هر لایه به میزان مشخصی (حدود ۲ تا ۶٪ بسته به دانه‌بندی) مرطوب می‌گردد. وجود رطوبت در بین دانه‌ها تا حدودی باعث ایجاد مکش می‌شود و امکان جداسدگی دانه‌ها را کاهش می‌دهد. سپس محتويات هر ظرف (لایه) به چهار بخش تقریباً مساوی تقسیم می‌گردد. سطح مقطع دستگاه به صورت فرضی به چهار قطاع تقسیم می‌شود و مصالح هر بخش درون یک قطاع قرار می‌گیرد. پس از قراردادهی، سطح هر لایه به وسیله‌ی دست به‌آرامی و با دقت صاف می‌شود. با این روش اطمینان از توزیع یکنواخت و همگن تمامی اندازه‌های ذرات وجود دارد.

مصالح و اطمینان از عدم وجود ذرات ریزدانه، دانه‌ها در ۱۳ دسته بین الکهای استاندارد تفکیک می‌شوند و به نسبت مورد نیاز برای تأمین دانه‌بندی‌های مورد آزمایش مخلوط می‌گردند. برای بخش ریزدانه (عبوری از 0.075 میلی‌متر) از پودر سیلیس تجاری، که بهروش فرآیند سنگ شکن تولید شده است، استفاده گردید. پودر سیلیس غیرچسبنده است و شاخص خمیری (PI) آن برابر با صفر می‌باشد.

در آزمایش‌های مقدماتی چهار خاک مورد آزمایش قرار گرفته‌اند که منحنی دانه‌بندی آن‌ها مطابق شکل (۸) است. حداقل اندازه تمامی خاک‌ها به $25/4$ میلی‌متر محدود است (طبق توصیه استاندارد [12] حداقل اندازه دانه‌ها باید $1/8$ تا $1/12$ قطر محفظه باشد) و شکلی مشابه پی‌های آبرفتی معرفی شده در شکل (۲) دارند. در جدول (۱) مشخصات دانه‌بندی خاک‌ها ارائه شده و جدول (۲) ارزیابی پایداری/ناپایداری داخلی خاک‌ها بهروش Kenney و Lau [۱۰] و مقادیر شاخص پایداری را بیان می‌دارد.

جدول ۱ مشخصات دانه‌بندی خاک‌های مورد آزمایش

مشخصه	نمونه خاک			
	S1	S2	S3	S4
D ₁₅ (mm)	۰/۰۹۹	۰/۰۹۵	۱/۱۰	۰/۰۸۲
D ₈₅ (mm)	۱۶/۸۶	۲۰/۴۷	۱۵/۶۳	۹/۰۲
D _{max} (mm)	۲۵/۴	۲۵/۴	۱۹/۰۵	۱۲/۷
%<0.075mm	۱۳	۸	۵	۳
C _u	۱۴۹/۶	۸۶/۹	۲۷/۵	۱۶/۹
C _c	۸/۷	۱۴/۷	۵/۰	۵/۰
*USCS	GM	GP-GM	GP	GP

جدول ۱ مشخصات دانه‌بندی خاک‌های مورد آزمایش * Unified Soil Classification System (سیستم طبقه‌بندی متحد خاک)

جدول ۲ ارزیابی پایداری/ناپایداری داخلی خاک‌های مورد آزمایش به روشهای Kenney و Lau [10]

مشخصه	نمونه خاک			
	S1	S2	S3	S4
ارزیابی	ناپایدار	ناپایدار	ناپایدار	ناپایدار
(H/F) _{min}	۰/۲۷	۰/۴۷	۰/۶۶	۰/۸۹

نظر به این که پیزومتر P₈ مستقیماً به پایاب متصل است، مقدار h₈ تابعی از سرعت خروج جریان در تراز پایاب است و برای غالب آزمایش‌ها (مگر در مواردی که سرعت‌های جریان بسیار بالا باشد) مقدار h₈ تغییرات اندکی دارد.

مقدار بلندای آبی h₁ توسط موتور و از طریق اینورتر تغییر می‌کند. در صورتی که تغییری در طول نمونه L_۱ روی دهد، سیستم کنترل به صورت حلقه‌بسته مقدار h₁ را تنظیم می‌کند تا گرادیان اعمال شده ثابت باقی بماند. برای هرگام از تغییر گرادیان هیدرولیکی (افزایش یا کاهش) تنظیم فشار h₁ توسط دستگاه و براساس (۱) صورت می‌گیرد.

اندازه‌گیری‌ها و محاسبات. پس از اتمام مرحله‌ی تراوش و پایان آزمایش، نمونه خاک بر جای مانده در چهار لایه بین پیزومترها استخراج شده و دانه‌بندی آن‌ها تعیین می‌گردد. هر لایه با L_{jk} نشان‌داده می‌شود که معرف لایه‌ی بین پیزومتر P_k تا P_j است. با دانستن بلندای آبی در پیزومترها (h_i) گرادیان‌های موضعی، ΔL_i ، در لایه‌های خاک از رابطه‌ای مشابه (۱) قابل محاسبه هستند. در کنار سربار اعمال شده، τ_{Tav} ، تنش در سطح پایین نمونه، B^5 ، نیز در هر لحظه معین می‌شود. با اندازه‌گیری نشت لحظه‌ای نمونه، ΔL_i ، کرنش محوری به صورت $\epsilon_a = \Delta L_i / L_0$ محاسبه می‌شود. آن‌جایی که سطح مقطع نمونه به واسطه‌ی محصور بودن در محفظه‌ی دستگاه ثابت است، کرنش محوری بیان‌گر کرنش حجمی، ϵ_V ، نمونه است. اندازه‌گیری نرخ حجمی جریان خروجی منجر به تعیین سرعت جریان در نمونه و در صورت نیاز محاسبه‌ی نفوذپذیری و تغییرات آن می‌شود.

مشخصات مصالح و دانه‌بندی خاک‌ها

مصالح دانه‌ای مورد استفاده، رودخانه‌ای با دانه‌های گردگوشه تا نسبتاً گردگوشه هستند. پس از شستشوی

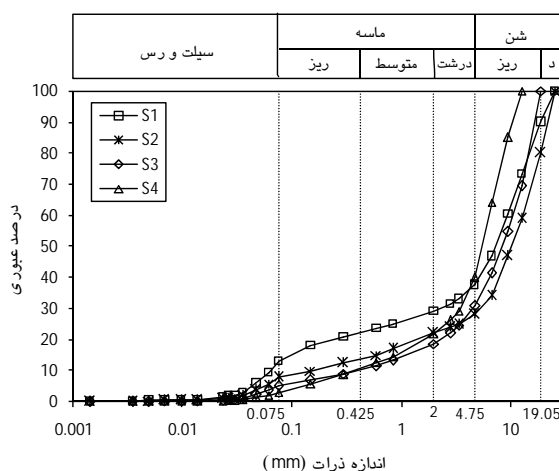
چشممه‌ی میش مستقر در زیر نمونه به‌ نحوی تعیین می‌شود که اجازه‌ی ریزش‌وی خارجی از نمونه‌ی مورد آزمایش را بدهد. بر این اساس برای خاک‌های مورد آزمایش اندازه‌ی چشممه‌ی میش معادل اندازه‌ی عبوری آزمایش آندازه‌ی ۴٪ تا ۴۷٪ در منحنی دانه‌بندی است. در تحقیقات گذشته نیز میش‌هایی با اندازه مشابه [14] و حتی تا حدود ۷۲٪ عبوری در منحنی دانه‌بندی [15] توسط محققان به کار رفته است. در مسایل واقعی ممکن است به‌دلیل لایه‌بندی خاک‌های طبیعی ذرات فرسایش‌یافته در ریزش‌وی، خاک ناپایدار داخلی را ترک نکند و نهایتاً ریزش‌وی داخلی روی دهد. در چنین شرایطی در پایین دست خاک ناپایدار داخلی تدریج‌گاهش نفوذ‌پذیری توأم با افزایش فشار آب منفذی حادث می‌شود. طی این پیشامد توزیع مجدد فشار منفذی می‌تواند به‌نوبه‌ی خود باعث ریزش‌وی یا فرسایش عقب‌رونده گردد.

نتایج. در جدول (۴) نتایج آزمایش‌ها، در قالب میزان فرسایش و تغییرات کرنش حجمی و تخلخل، ارائه شده است. از اصلی‌ترین نتایج تعیین میزان فرسایش، F_{erod} در ریزش‌وی و تشخیص پایداری/ناپایداری داخلی دانه‌بندی است. در شکل‌های (۱۰-الف) و (۱۰-ب) دانه‌بندی لایه‌های مختلف نمونه پس از آزمایش برای خاک‌های S1 و S4 ارائه شده است.

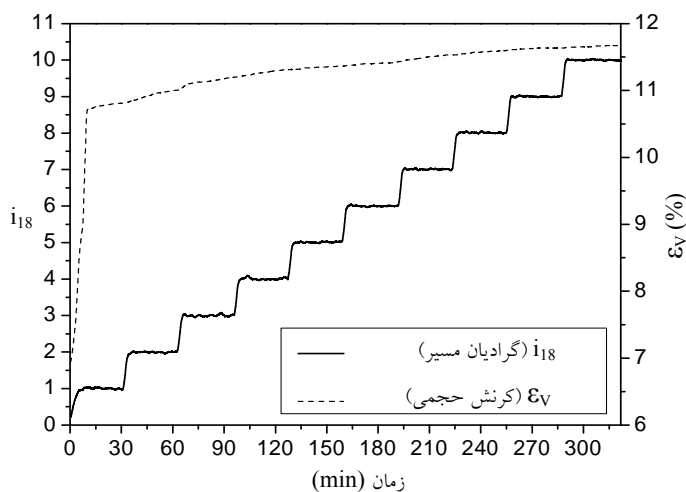
آزمایش‌ها و نتایج

آزمایش‌ها. هر چهار نمونه خاک تحت سربار $\sigma'_{Tav}=30\text{ kPa}$ مورد آزمایش قرار گرفته‌اند. اندازه‌ی میش خروجی (زیر نمونه)، مدت زمان تراوش و مشخصات نمونه‌ها در جدول (۳) ارائه شده است. گرادیان هیدرولیکی مسیر (i_{18}) اعمال شده به نمونه از مقدار ۱ تا ۱۰ به صورت پله‌ای افزایش یافته و هر پله گرادیان مدت ۳۰ دقیق به خاک اعمال شده است. شکل (۹) نمونه‌ای از تغییرات گرادیان هیدرولیکی و نیز کرنش حجمی در آزمایش بر روی خاک S1 را نشان می‌دهد.

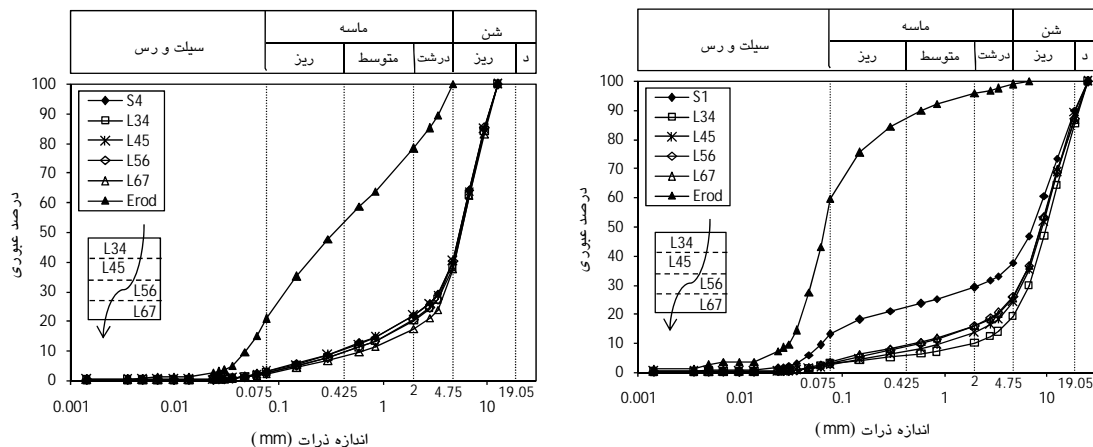
گرادیان‌های اعمال شده در طول آزمایش، از مقادیر معمول گرادیان‌های تراوش در پی و بدنه سدهای خاکی بیشتر است [6] و زمان اندک آزمایش در قیاس با طول عمر مفید سد را به صورت غیرمستقیم جبران می‌کند. با توجه به این‌که هدف اصلی این تحقیق مهیا نمودن شرایط وقوع ریزش‌وی خارجی و فرسایش هرچه بیش‌تر ذرات خاک بوده است، سطح سربار ($\sigma'_{Tav}=30\text{ kPa}$) به‌نحوی انتخاب گردید تا تأثیرات محتمل سربارهای زیاد در کاهش میزان فرسایش مرتفع گردد. در تحقیقات مشابه قبلی در رابطه با ریزش‌وی هر جا بررسی مقدار فرسایش مورد نظر بوده، از سطوح سربار مشابه استفاده شده است (به عنوان مثال 10 kPa [13] تا 25 kPa [14]). اندازه



شکل ۸ منحنی دانه‌بندی خاک‌های مورد آزمایش



شکل ۹ تغییرات گرادیان مسیر و کرنش حجمی طی آزمایش بر روی خاک S1 تحت $\sigma'_{Tav}=30\text{ kPa}$



شکل ۱۰ دانه‌بندی لایه‌های مختلف نمونه پس از آزمایش تحت $\sigma'_{Tav}=30\text{ kPa}$ بر روی
(الف) خاک S4 و (ب) خاک S1 و S2

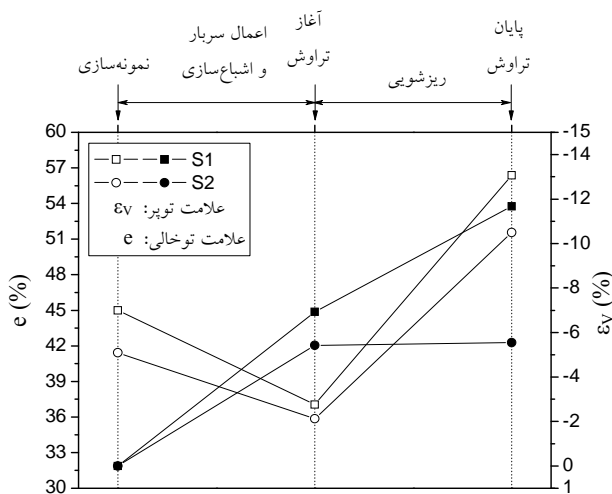
جدول ۳ مشخصات آزمایشها تحت $\sigma'_{Tav}=30\text{ kPa}$

مشخصه	نمونه خاک			
	S1	S2	S3	S4
W (%)	۴/۵	۳/۵	۲/۹	۲/۷
میش خروجی (mm)	۶/۷۳	۹/۵۲	۶/۷۳	۴/۷۵
L ₀ (mm)	۳۸۳	۳۷۵	۳۸۴	۳۸۲
e ₀ (%)	۴۵/۰	۴۱/۴	۴۵/۴	۴۴/۶
مدت آزمایش (min)	۳۲۲	۲۱۳	۳۱۹	۳۳۱

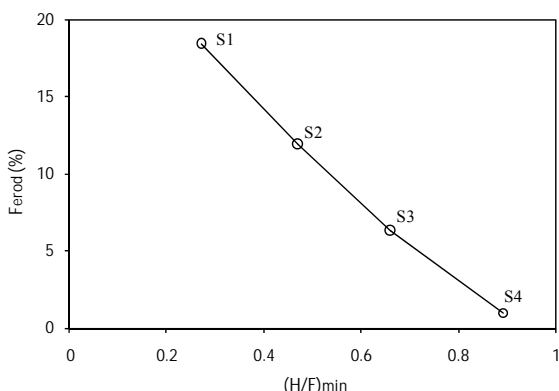
توضیحات: W میزان رطوبت نمونه‌سازی
و e₀ به ترتیب طول و تخلخل نمونه‌سازی

جدول ۴ نتایج آزمایش تحت $\sigma'_{Tav}=30\text{ kPa}$

مشخصه	نمونه خاک			
	S1	S2	S3	S4
ارزیابی	نایابدار	نایابدار	نایابدار	پایدار
$F_{erod} (\%)$	۱۸/۴	۱۱/۹	۶/۳	۱
$^{+*}\Delta\varepsilon_V (\%)$	۴/۷۴	۰/۱۲	۰/۱۵	۰/۲۶
$^{\$*}\Delta e (\%)$	۱۹/۳	۱۵/۷	۷/۶	-۰/۸

^{*}: مقدار گزارش شده برای مرحله تراوش (ریزشویی)[†]: کرنش حجمی مثبت نشانه کاهش حجم[§]: افزایش تخلخل مثبت و کاهش تخلخل منفی

شکل ۱۱ تغییرات کرنش حجمی و تخلخل نمونه در مراحل مختلف آزمایش بر روی خاک های S1 و S2

تحت $\sigma'_{Tav}=30\text{ kPa}$ شکل ۱۲ تغییرات درصد فرسایش، F_{erod} ، بر حسب شاخص پایداری، $(H/F)_{min}$ ، در آزمایش بر روی خاک ها تحت $\sigma'_{Tav}=30\text{ kPa}$

فرسایش نمی‌باشد، بنابراین کاهش حجم همراه با کاهش میزان تخلخل نمونه است.

در شکل (۱۲) میزان فرسایش از نمونه‌های مورد آزمایش بر حسب شاخص پایداری، $(H/F)_{min}$ ، ارائه شده است. بر این اساس، افزایش شاخص پایداری، که متناظر با نزدیک شدن خاک به شرایط پایدار داخلی است، موجب کاهش میزان فرسایش از خاک، F_{erod} ، می‌شود.

جمع‌بندی و نتیجه‌گیری

توجه اصلی مقاله حاضر به معرفی دستگاه آزمایش پیشرفته و بزرگ مقیاس برای مطالعه‌ی فرسایش داخلی و ریزش‌وی می‌باشد. ضمن تشریح توانمندی‌های عملکردی و مختصات ویژه‌ی سامانه‌ی آزمایشگاهی، نظیر مقیاس بزرگ و امکان اندازه‌گیری دقیق تنفس مؤثر و گردابان در ترازهای مختلف نمونه، راهکار مطالعه‌ی آزمایشگاهی پدیده ریزش‌وی مورد بحث قرار گرفت.

با استناد به نتایج آزمایش‌های مقدماتی صورت گرفته، می‌توان نتایج اصلی زیر را برشمود: ۱) پایداری/ناپایداری خاک‌ها صرفاً با استفاده از روش‌های ارزیابی موجود قابل تشخیص نیست و لازم است وقوع ریزش‌وی در آزمایش تراوش، تحت تأثیر عوامل هیدرومکانیکی، نظیر سربار مؤثر و جریان تراوش، بررسی گردد.

۲) شاخص پایداری محاسبه شده از روش Kenney و Lau بیانگر میزان فرسایش در ریزش‌وی است و به عبارت دیگر تغییرات آن مبین شدت امکان وقوع ریزش‌وی در خاک می‌باشد.

۳) وقوع ریزش‌وی با تغییر دادن دانه‌بندی و تخلخل توده خاک، باعث تغییرات اجتناب‌ناپذیر و تأثیرگذاری در رفتار تنفس-کرنش و تغییرشکل-پذیری خاک خواهد شد.

دانه‌بندی لایه‌های مختلف خاک S1 پس از آزمایش از دانه‌بندی اولیه به مراتب درشت‌تر شده که نشان از فرسایش زیاد، $F_{erod}=18/4\%$ ، و ریزش‌وی خارجی شدید از نمونه خاک است. مطابق شکل (۱۰-الف) بیشترین مقدار فرسایش از لایه‌ی L_{34} روی داده است. به بیان دیگر بر اثر ریزش‌وی ذرات ریز لایه‌ی L_{34} به درون و از میان لایه‌های زیرین فرسایش یافته‌اند. برای خاک S4 دانه‌بندی پس از آزمایش لایه‌های مختلف به دانه‌بندی اولیه نمونه بسیار نزدیک بوده و فرسایش اندکی، $F_{erod}=1\%$ ، روی داده که عمدهاً مربوط به لایه‌ی L_{67} ، لایه‌ی مجاور مش خروجی، است. بدین ترتیب در خاک S4 ریزش‌وی روی نداده و بر خلاف پیش‌بینی روش Kenney و Lau [۱۰] خاک پایدار داخلی است.

در شکل (۱۱) تغییرات کرنش حجمی، ΔV ، و تخلخل، ϵ ، در طی مراحل مختلف آزمایش روی خاک‌های S1 و S2 نشان داده شده است. قابل انتظار است که در مراحل اعمال سربار و اشباع‌سازی، نمونه خاک متراکم شود و به دلیل کاهش حجم، تخلخل نیز کم شود. در خلال وقوع ریزش‌وی، خاک S1 چهار کاهش حجم می‌شود و تغییرات کرنش حجمی حین ریزش‌وی، ΔV ، برابر با $4/74\%$ به دست می‌آید، اما به دلیل فرسایش ذرات از نمونه، تخلخل خاک $19/3\%$ افزایش می‌یابد.

برای خاک S2 تغییر حجم نمونه طی ریزش‌وی ناچیز است، اما فرسایش ذرات از توده‌ی خاک باعث افزایش تخلخل به میزان $15/7\%$ شده است. این نتایج نشان می‌دهد که بر اثر ریزش‌وی، همواره ساختار خاک متخلخل‌تر می‌گردد و در نتیجه باعث تغییرات قابل ملاحظه‌ای در رفتار تنفس-کرنش و تغییرشکل‌پذیری خاک می‌شود. خاک S4 که پایدار داخلی است، طی تراوش نمونه به میزان اندکی کاهش حجم می‌دهد، اما به دلیل عدم وقوع ریزش‌وی، ذرات از توده خاک

مراجع

1. Foster, M., Fell, R. and Spannagle, M., "A method for assessing the relative likelihood of failure of embankment dams by piping", *Canadian Geotechnical Journal*, 37, pp. 1025-1061, (2000).
2. Soroush, A., Miri Disfani, M. and Tabatabaie Shourijeh, P., "Potential of internal instability in alluvial sediments", 59th Canadian Geotechnical Conference, 8-10 October 2006, Vancouver, Canada, pp. 1156-1163, (2006).
3. Soroush, A., Tabatabaie Shourijeh, P. and Miri Disfani, M., "A laboratory study on some factors effecting suffusion in soils", *Proceedings of the 13th Asian Regional Conference on Soil Mechanics and Geotechnical Engineering*, 10-14 December 2007, Kolkata, India, (2007).
4. سروش، عباس، طباطبائی شوریجه، پیلتن و میری دیسفانی، مهدی، "شناسایی پدیده‌ی ریزش‌بی‌ی و خاک‌های ناپایدار داخلی"، کمیته‌ی ملی سدهای بزرگ ایران، ص. ۷۵ (۱۳۸۹).
5. Fannin, R. J. and Moffat, R., "Observations on internal stability of cohesionless soils", *Géotechnique*, 56(7), pp. 497-500, (2006).
6. Wan, C.F. and Fell, R., "Assessing the potential of internal instability and suffusion in embankment dams and their foundations", *Journal of Geotechnical and Geoenvironmental Engineering*, ASCE, 134 (3), pp. 401-407, (2008).
7. Cividini, A., Bonomi, S., Vignati, G.C. and Gioda, G., "Seepage-Induced Erosion in Granular Soil and Consequent Settlements", *International Journal of Geomechanics*, ASCE, 9(4), pp. 187-194, (2009).
8. میری دیسفانی، مهدی، "مطالعه‌ی آزمایشگاهی ناپایداری داخلی خاک‌ها"، رساله‌ی کارشناسی ارشد، دانشکده‌ی مهندسی عمران و محیط زیست، دانشگاه صنعتی امیرکبیر، (۱۳۸۵).
9. Kézdi, Á., "Increase of protective capacity of flood control dikes (in Hungarian)", Department of Geotechnics, Technical University of Budapest, Report No. 1, (1969).
10. Kenney, T.C. and Lau, D., "Internal stability of granular filters: Reply", *Canadian Geotechnical Journal*, 23, pp. 420-423, (1986).
11. Burenkova, V.V., "Assessment of suffusion in non-cohesive and graded soils", Proceedings, the First International Conference "Geo-Filters", Karlsruhe, Germany, 20–22 October 1992, Filters in Geotechnical and Hydraulic Engineering, Brauns, Heibaum & Schuler (eds.), Balkema, Rotterdam, pp. 357-360, (1993).
12. ASTM , "Standard Test Method for Permeability of Granular Soils (Constant Head) (D2434-96)", in the Annual Book of ASTM Standards, Vol. 04.09, ASTM Philadelphia, USA, (1996).
13. Kenney, T.C., Lau, D., "Internal stability of granular filters", *Canadian Geotechnical Journal*, 22, pp. 215-225, (1985).
14. Fannin, R.J., Moffat, R., "Observations on internal stability of cohesionless soils", *Géotechnique*, 56(7), pp. 497-500, (2006).

15. Moffat, R., Fannin, R.J., Garner, S.J., "Spatial and temporal progression of internal erosion in cohesionless soil", *Canadian Geotechnical Journal*, 48, pp. 399-412, (2011).